

## Ni 도금 구조물을 이용한 전자력 구동 AI 미러의 제작

임 대선, 김 용권\*, 최 험\*\*  
서울대학교 전기 컴퓨터 공학부\*, 삼성 전자\*\*

### Fabrication of Al mirror with Ni electroplated structure for magnetic actuation

Tae-Sun Lim, Yong-Kweon Kim\*, Hyung Choi\*\*

School of Electrical and Computer Engineering, Seoul National University\*, Samsung Electronics\*\*.

**Abstract** - In this study, we fabricated surface micromachined mirror that is actuated by magnetic force. The mirror was fabricated with Al, and Ni was electroplated on the surface of Al mirror as a magnetic material. The fabricated mirror is actuated by magnetic force of simple solenoid. The maximum deflection angle is about 70° when the applied magnetic field is about  $1.5 \times 10^4$  A/m

### 1. 서 론

マイクロミラーはマイクロメカニクス技術を光学システムに適用する代表的な例として、これまで多くの研究が発表されている。マイクロミラーが使用できる範囲は、特に光路変更用としてSLM、光通し方、高解像度ディスプレイ等のシステムで利用されている[1-3]。マイクロアクチュエーターを駆動する方法としては、電磁力を用いる方法[1-4]、電磁力を用いる方法[5,6]等がある。特に電磁力の場合、他の方法と比較して大きな力を得られる。本研究では、光通し方ネットワークに適用可能なマイクロミラーを作成した。電磁力を用いて駆動するため、アルミニウムミラーの上にNiを電気めっきして外部コイルによる駆動装置を作成した。

### 2. 본 론

#### 2.1 마이크로 미러의 구조

그림 1은 WDM 광 네트워크에 사용되는  $4 \times 4$  광 분배 스위치를 보이고 있다. 그림 1의 광스위치는 개별 구동이 가능한 마이크로 미러로 이루어져 있으며 광섬유와 구형렌즈를 통과한 광신호가 미러에 반사되어 또 다른 구형렌즈를 통해 원하는 광섬유에 도달하는 구조이다. 미러의 변위각은 90°에 가까워야 하므로 큰 변위각을 얻기 위하여 전자력으로 구동되는 미러를 설계하였다.

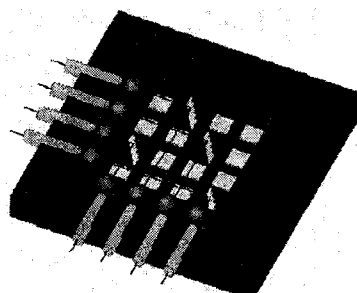


그림 1.  $4 \times 4$  광 분배 스위치

그림 2는 제작된 미러의 개략도를 보이고 있다. 알루미늄으로 제작된 미러면 위에 전자력 구동을 위한 Ni 도금 구조물을 올라가 있으며 구동시 복원력을 얻기 위한 hinge 스프링이 미러를 지지하고 있는 구조이다. 미러면의 크기는  $100\mu\text{m} \times 100\mu\text{m}$ 이고 자성체를 포함한 미러의 두께는 약  $6\mu\text{m}$ 이다. 스프링의 길이는  $100\mu\text{m}$ 로 설계하였으며 폭은  $4\mu\text{m}$ , 두께는 약  $0.4\mu\text{m}$ 이다.

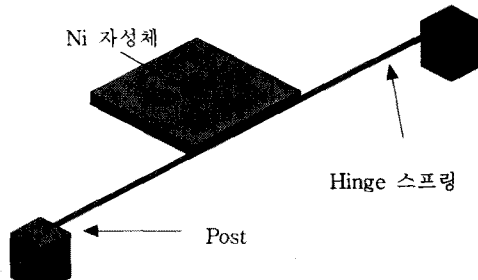


그림 2. 마이크로 미러의 개략도

#### 2.2 구동 특성 해석

그림 3은 일정한 자계내에 있는 미러의 움직임을 나타내고 있다. 외부에서 자계( $H_{ext}$ )를 가하면 연자성체의 자화 벡터  $M$ 과의 상호작용으로 토크가 발생하며 그 크기는 아래 식과 같이 표현된다[6].

$$T_H = V_{mag} MH_{ext} \sin(\gamma - \theta - \phi) \quad (1)$$

$V_{mag}$  : 자성체의 부피

연자성체의 경우 자화 벡터  $M$ 이  $T_H$ 에 의해 평행 상태의 방향(easy axis)로부터  $\theta$  만큼 회전하게 되고 이로 인해 식 (2)와 같이 표현되는 토크가 발생한다[6].

$$T_a = -K_a \sin 2\theta \quad (2)$$

$K_a$  : 자화 비대칭 상수

또한 자계에 의한 토크에 의하여 미러가 회전하게 되면 hinge 스프링이 뒤틀리게 되며 스프링에 기계적인 토크가 발생하게 된다.

$$T_{mech} = k_\phi \phi \quad (3)$$

자계에 의한 토크와 스프링의 기계적인 토크가 평형을 이루는 점에서 미러의 구동 변위각이 결정되게 되므로 인가된 자계의 크기에 대한 변위각을 알 수 있게 된다.

$$|T_H| = |T_a| = |T_{mech}| \quad (4)$$

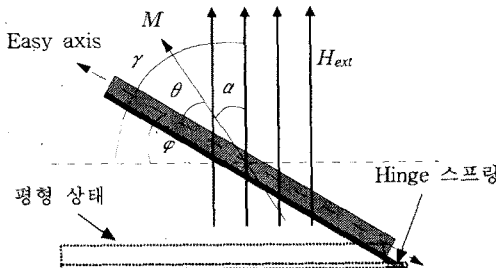


그림 3. 자계 인가시 자성체의 움직임

### 2.3 마이크로 미러의 제작

설계된 미러는 알루미늄을 구조물로 사용하고 후막 감광제를 회생층으로 사용하여 제작하였다. 그림 4는 마이크로 미러의 제작 공정을 보이고 있다. 먼저 실리콘 기판 위에  $\text{SiO}_2$  절연층을 증착한다(a). 다음 알루미늄으로 전극을 형성하고 회생층 후막 감광제를 spin coating한 후 열처리를 한다(b). 회생층으로 사용된 후막 감광제는 AZ4620이며 회생층의 두께는 약  $6 \mu\text{m}$ 이다. 열처리된 후막 감광제 위에  $\text{SiO}_2$  식각 마스크를 증착하여 post 제작을 위한 hole을 뚫고(c) 식각 마스크를 제거한 후 스프링과 같은 두께의 알루미늄을 증착한다(d). 이 위에 스프링 형성을 위한 식각 정지막으로 사용할  $\text{SiO}_2$  막을 증착한 후 post hole을 후막 감광제로 채운다(e). 다음  $\text{SiO}_2$  막을 스프링 형상으로 패터닝하는데(f), post hole을 후막 감광제로 채움으로써 스프링 패터닝을 위한 사진 공정시 단차에 의한 패턴 손실을 줄일 수 있다. 이 위에 다시 알루미늄과 도금 기반층을 증착한 후 negative PMER 도금틀을 형성하여 Ni을 도금한다(g). 마지막으로 도금틀과 회생층을 제거하면 미러가 완성된다(h).

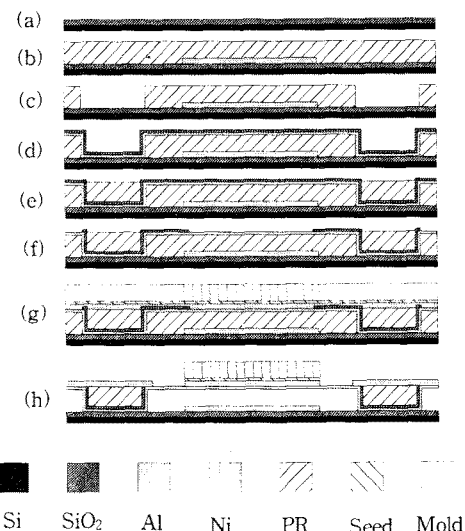


그림 4. 마이크로 미러의 제작 공정

### 2.4 제작 결과 및 전자력 구동

미러 제작후 간단한 솔레노이드를 제작하여 미러의 전자력 구동 실험을 하였다. 그림 5는 구동 실험을 위한

실험 장치를 보이고 있다. 코일은 외경 4 cm, 내경 0.7 cm 크기로 감은 선의 수는 700 turn이다. 1 A의 전류가 흐를 때 약 190 Gauss의 자속 밀도를 얻을 수 있다.

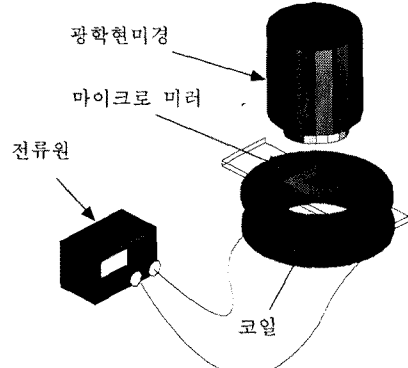
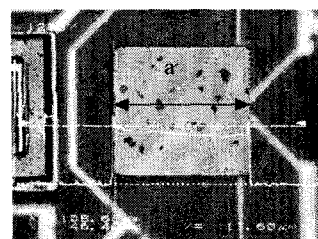


그림 5. 마이크로 미러의 구동 실험

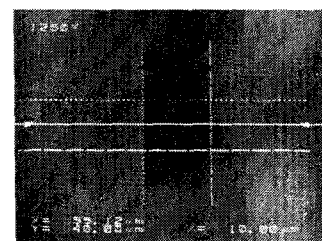
그림 6은 구동중인 미러를 위에서 활활한 모습을 보이고 있다. 미러의 관찰은 laser profiler를 사용하였으며 자계를 인가한 상태로 관찰하여 구동각을 측정하였다. 그림 6에서 구동각은

$$\phi = \cos^{-1}\left(\frac{b}{a}\right) \quad (5)$$

와 같이 계산할 수 있다. 인가된 자속의 변화에 따른 구동 변위각의 변화를 그림 7에 보이고 있다. 최대 변위는 약  $70^\circ$  이며 이때의 자계는 약  $1.5 \times 10^4 \text{ A/m}$  이다.  $90^\circ$ 에는 미치지 못하나 비교적 큰 변위각을 얻을 수 있음을 알 수 있다.  $90^\circ$ 에 근접한 변위각을 얻으려면 더욱 강한 자계를 인가하거나 스프링의 두께나 길이를 조절하여 스프링 상수를 줄일 필요가 있으며 광스위치로 사용하기 위해서는 구동후 미리를 구동된 상태로 유지시킬 수 있는 방법이 필요하다.



(a) 평형 상태



(b) 자계를 인가했을때

그림 6. 완성된 미러의 구동

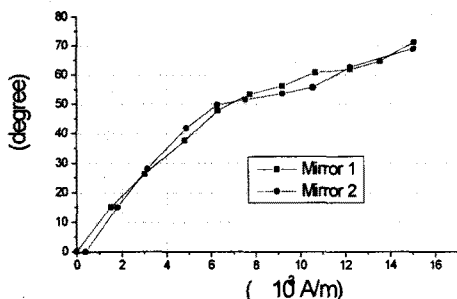


그림 7. 자계 변화에 따른 변위각의 변화

### 3. 결 론

본 연구에서는 전자력을 이용하여 구동되는 미러를 설계하고 제작하였다. 미러의 제작은 Al을 구조물로 하는 표면 미세 가공 기술을 이용하였으며 전자력 구동을 위해 미러면 위에 연자성체인 Ni을 도금하였다. 전자력을 구동력으로 이용함으로써 70 °정도의 비교적 큰 변위각을 얻을 수 있었다. 미러의 구동 변위각은 스프링의 치수 조절이나 인가 자계등을 조절하여 증가 시킬 수 있으며 광 네트워크에서 광 분배 스위치로 사용하기 위해서는 구동 변위각의 증가뿐만 아니라 인가 후 미러의 움직임을 조절할 수 있는 방법에 대한 연구도 필요하다.

### 4. 감사의 글

이 연구는 과학기술부와 산업자원부가 주관하는 초소형 정밀기계 선도기술개발사업과 2000년도 두뇌 한국 21 사업에 의하여 지원된 것입니다.

#### (참 고 문 헌)

- [1] Jack M. Younse, "Mirrors on a chip", IEEE spectrum, pp. 27~31, November, 1993
- [2] Larry J. Hornbeck, "Deformable-mirror spatial light modulators", Spatial Light Modulators and Applications III, SPIE Critical Review, Vol.1150, pp. 86~102
- [3] J. Hornbeck, "Current status of digital micromirror device (DMD) for projection television applications", Technical Digest of IEEE International Electron Device Meeting, pp. 381~384, 1993
- [4] L. Y. Lin, E. L. Goldstein, and R. W Tkach, "Free-Space Micromachined Optical Switches for Optical Networking" JSTQE, pp. 4-9, Vol. 5, No. 1, January, 1999
- [5] Behrang Behin, Kam Y. Lau, and Richard S. Muller, "Magnetically Actuated Micromirrors for Fiber-Optic Switching", Tech. digest of Solid-State Sensor and Actuator, pp.273-276, June, 1998
- [6] Jack W. Judy, Richard S. Muller, "Magnetic microactuation of torsional polysilicon structures", Transducers' 95, vol. 1, pp. 332-335